

LANCÉ

Servicio Clima Espacial

Reporte Semanal

<http://www.sciesmex.unam.mx>



AEM
AGENCIA ESPACIAL MEXICANA



CENAPRED
CENTRO NACIONAL DE
PREVENCIÓN DE DESASTRES

Reporte semanal: del 27 de enero al 2 de febrero de 2023

CONDICIONES DEL SOL

Regiones Activas (RA): 8.

Eyecciones de Masa Coronal: 8 (0 tipo halo).

Hoyos coronales: 2. Uno en el polo sur y otro en el hemisferio norte.

Fulguraciones solares: 0 tipo M y X.

CONDICIONES DEL MEDIO INTERPLANETARIO

Se registró una región de interacción y el flanco de una eyección de masa coronal (EMC). Dichas estructuras no causaron actividad geomagnética.

La Red de Espectrómetros Callisto de México detectó 6 estallidos de radio Tipo III.

CONDICIONES DE MAGNETÓSFERA

No se registró actividad geomagnética significativa.

CONDICIONES DE LA IONOSFERA

No se registraron perturbaciones ionosféricas significativas.

CONDICIONES DE RAYOS CÓSMICOS SOBRE MÉXICO

No se registraron perturbaciones significativas en los flujos de rayos cósmicos.

PRONÓSTICOS

Viento solar:

- Se pronostica para los próximos días, el arribo de viento solar lento con velocidades que varían entre los 400-600 km/s. El hoyo coronal ecuatorial (CH1 en la diapositiva 5) podría producir una región de interacción en el medio interplanetario y perturbar el entorno de la Tierra.

Fulguraciones solares:

- Debido a la presencia de regiones activas en el disco solar existe la posibilidad de que se presenten fulguraciones en los próximos días.

Tormentas ionosféricas:

- Hay baja probabilidad de perturbaciones ionosféricas moderadas. No se esperan eventos significativos.

Tormentas geomagnéticas:

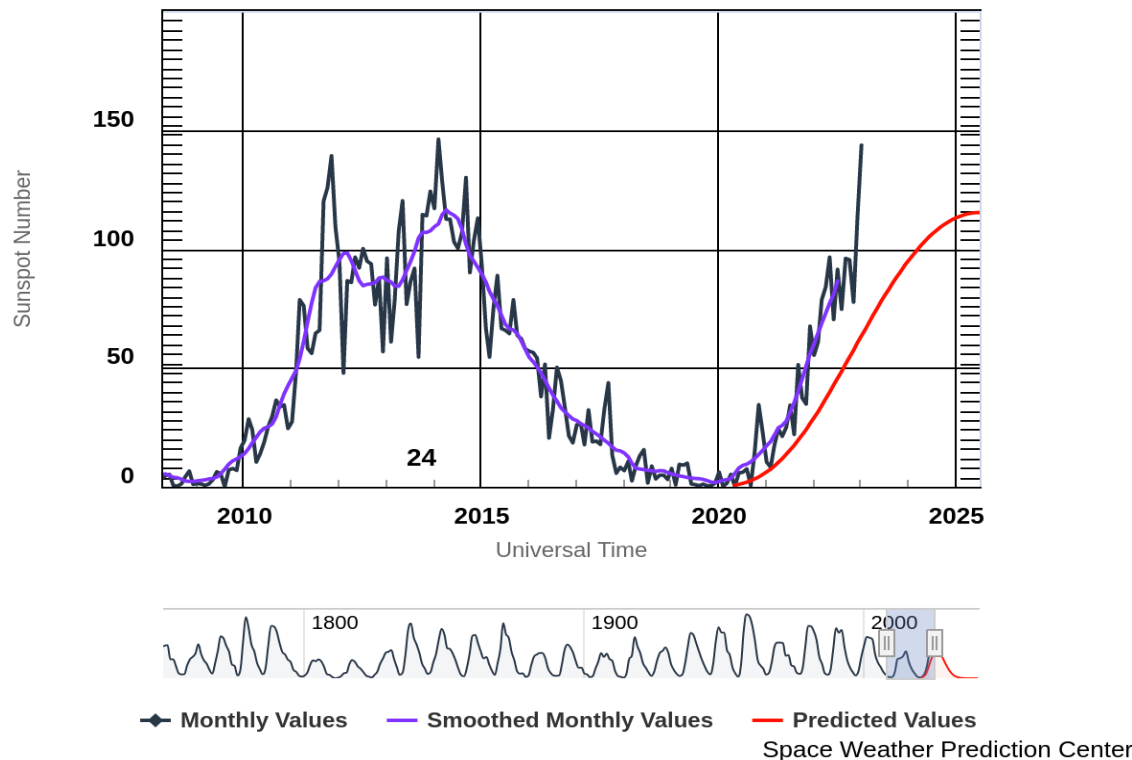
- Hay probabilidad de actividad geomagnética moderada. No se esperan eventos significativos.

Tormentas de radiación de partículas:

- Hay probabilidad de tormentas de radiación. No se esperan eventos significativos.

Ciclo de manchas solares y la actividad solar

ISES Solar Cycle Sunspot Number Progression



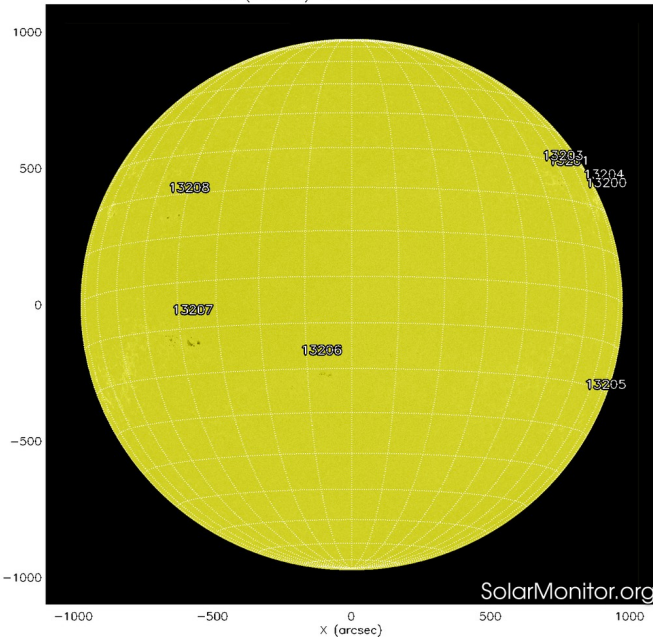
La figura muestra el conteo del número de manchas solares desde enero del 2009.

Entre más manchas solares presente el Sol, es mayor la posibilidad de que ocurra una tormenta solar.

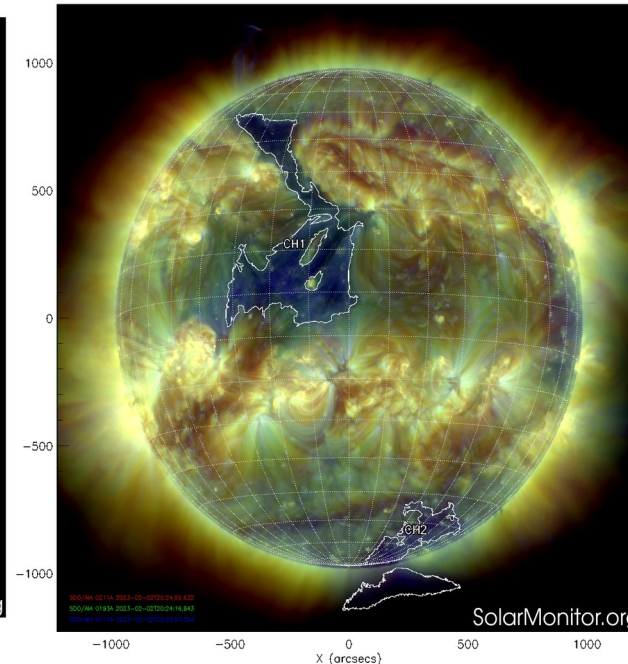
Ya pasamos el mínimo de manchas solares del ciclo 24 y ahora estamos en la fase ascendente del ciclo 25. El máximo de manchas se pronostica para el 2025.

<http://www.swpc.noaa.gov/products/solar-cycle-progression>

SDO HMI (6173 Å) 2-Feb-2023 19:34:30.600



CHIMERA Coronal Holes at 2-Feb-2023 20:24:16.843 UT



<http://solarmonitor.org>

La imagen del día de hoy, 2 de febrero de 2023, muestra 8 regiones activas, 5 se localizan en el hemisferio norte y tres en el hemisferio sur (ver imagen de la izquierda).

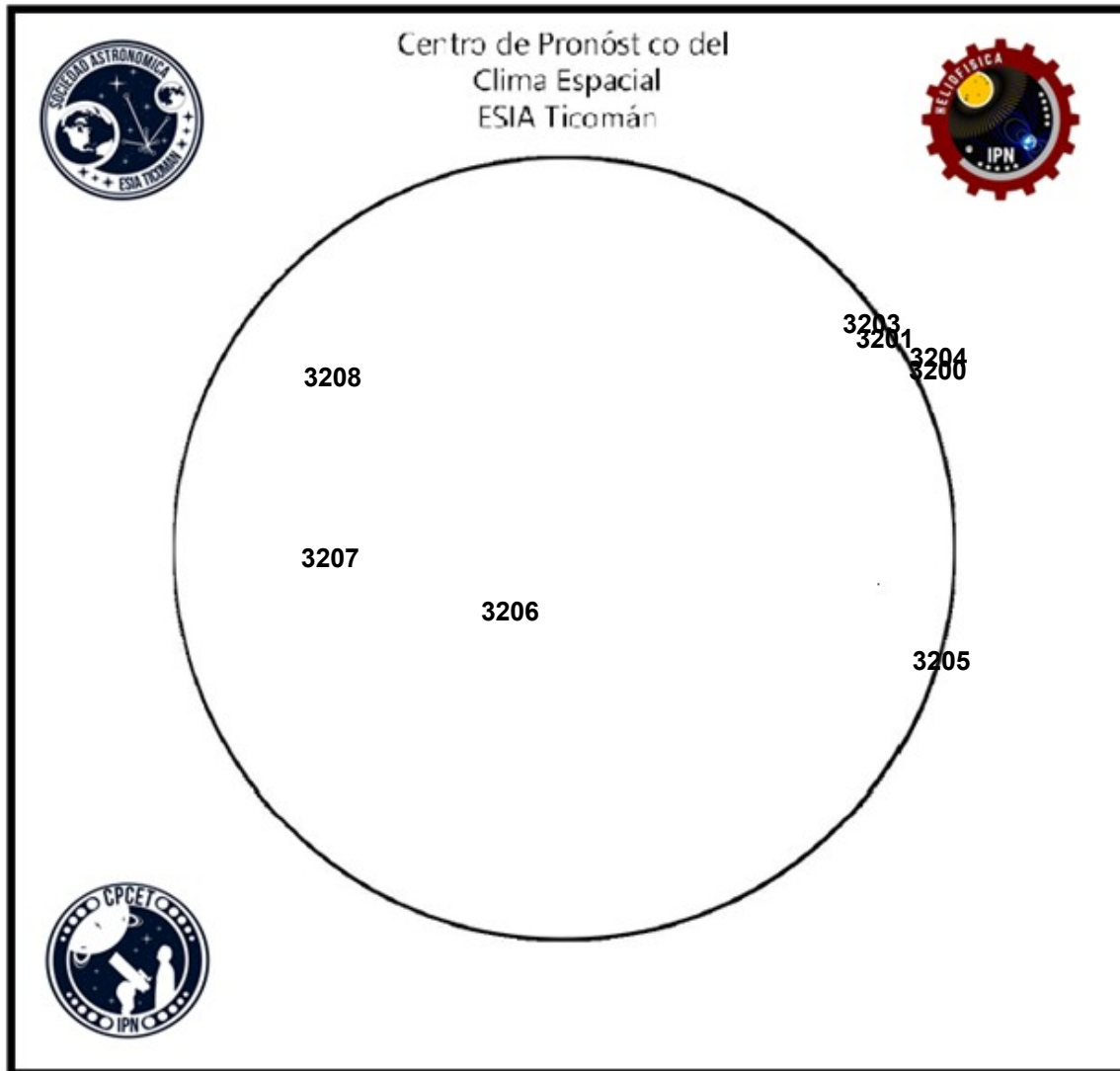
Además, se observa un hoyo coronal en el polo sur (ver CH2 en imagen de la derecha). Así también, vemos un hoyo coronal en el hemisferio norte que se extiende desde latitudes altas hasta el ecuador (ver CH1) el cual puede generar una región de interacción en los siguientes días.

El Sol, visto en distintas longitudes de onda, muestra diferentes capas solares.

A la izquierda: La superficie solar (fotosfera) vista en luz visible. En esta zona se aprecian las manchas solares (zonas oscuras) asociadas con las regiones activas, las cuales concentran intensos campos magnéticos y son la principal fuente de la actividad solar.

A la derecha: Imagen del disco solar compuesta por diferentes longitudes de onda. La imagen facilita la identificación de hoyos coronales (regiones azul oscuro) que son fuente de campo magnético solar localmente abierto y también son el origen de las corrientes de viento solar rápido.

Número de Wolf



El número de Wolf es un valor que permite evaluar numéricamente la actividad solar mediante el conteo de manchas solares ubicadas sobre la superficie del Sol. Este se calcula a partir de la fórmula desarrollada por Rudolf Wolf en 1849:

$$W=k(10*G+F)$$

Donde:

K= Es un factor de corrección que depende de cada observatorio.

F= Cantidad total de manchas solares visibles sobre el disco solar.

G= Cantidad de grupos manchas solares visibles sobre el disco solar.

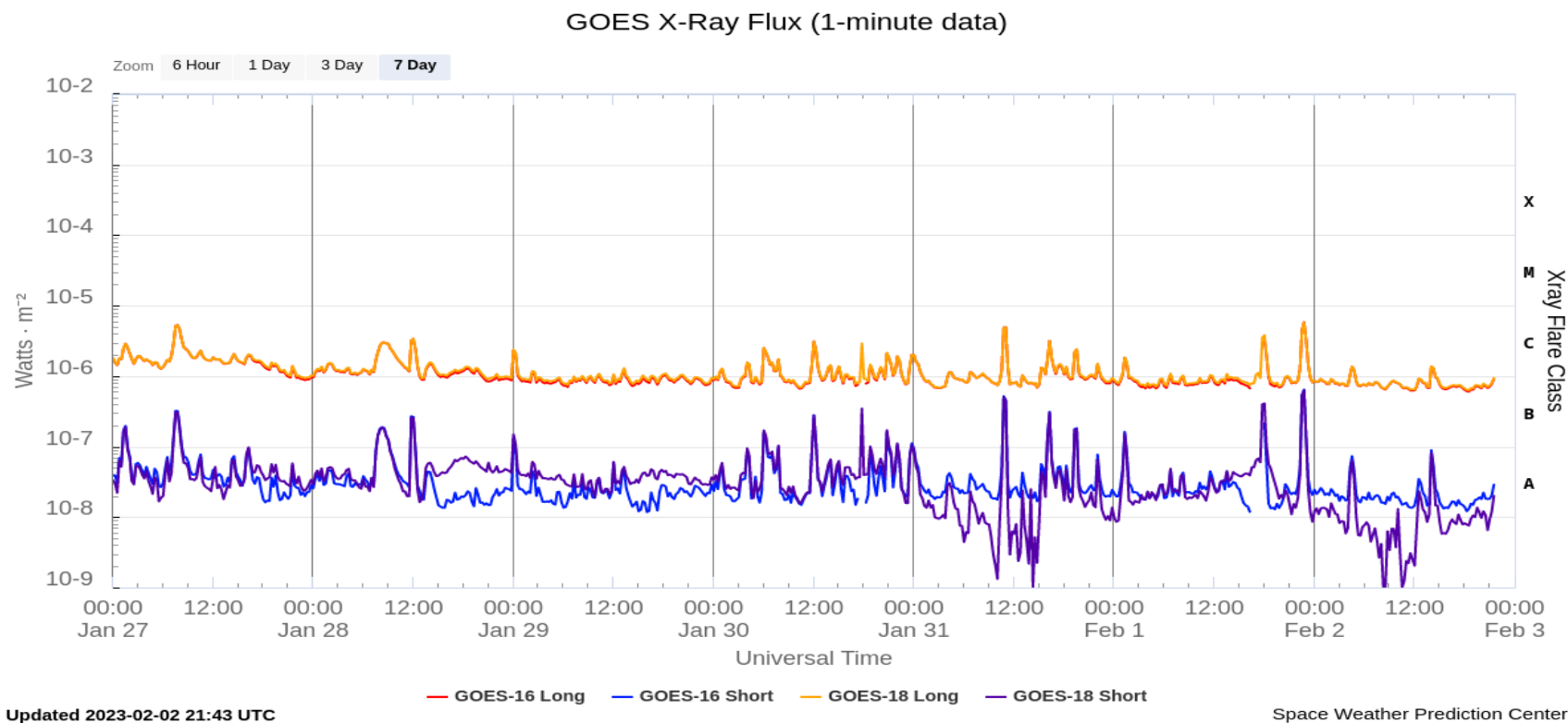
Número de Wolf máximo esta semana: **142**

Durante esta semana se pudieron observar ocho regiones activas en la superficie del Sol. Estas fueron la 3200, 3201, 3203, 3204, 3205, 3206, 3207 y 3208 con coordenadas N21W80, N24W58, N25W56, N24W91, S23W91, S21E09, S11E39 y N16E41 respectivamente.

Actividad solar: Fulguraciones solares

Flujo de rayos X solares detectado por el satélite GOES 17 de la NOAA.

Durante la semana, no se registraron fulguraciones tipo M y X, tan solo clase C.



<https://www.swpc.noaa.gov/products/goes-x-ray-flux>

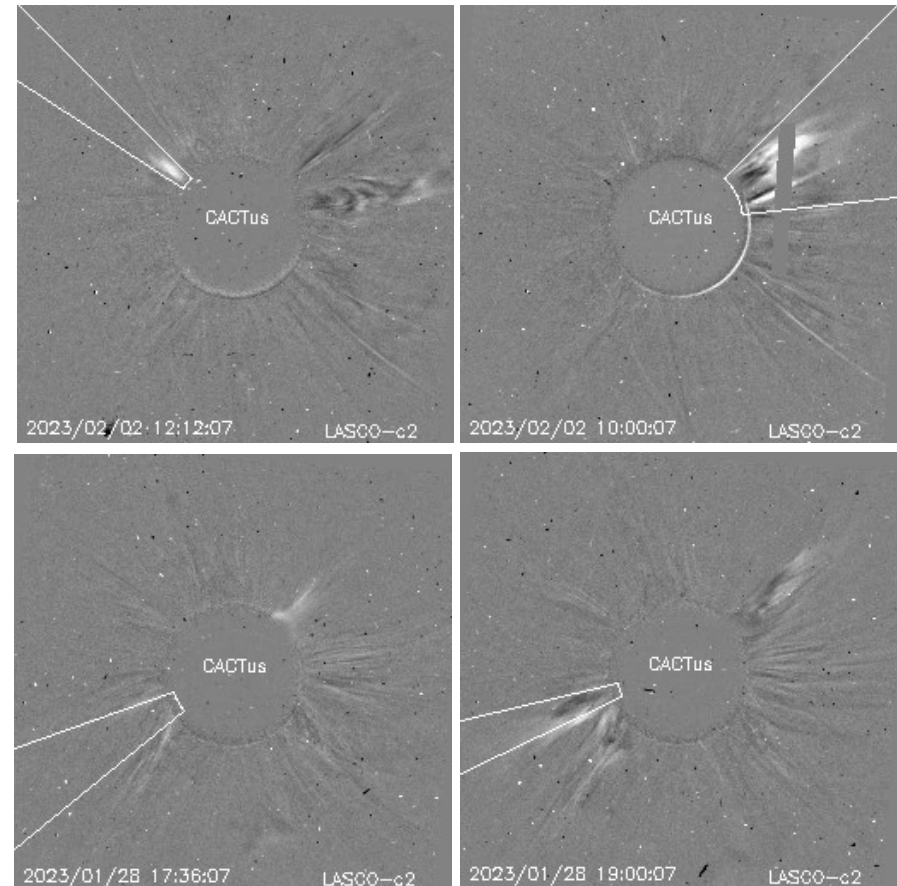
Actividad solar: Eyecciones de Masa Coronal

Se registraron 8 EMCs.
0 tipo halo (ancho > 90°)

Mediciones de salida de EMC de mayor
dimensión y velocidad de esta semana:

Fecha, tiempo inicial, velocidad promedio (km/s)

2023/02/02	12:12	1059
2023/02/02	09:24	728
2023/01/28	17:36	1567
2023/01/28	17:12	166

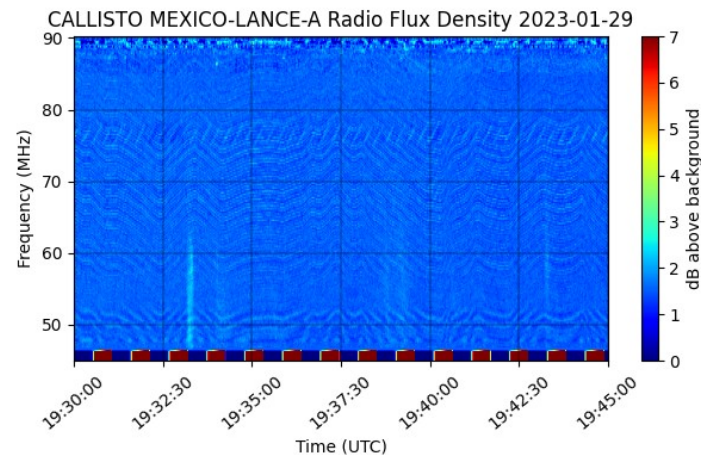
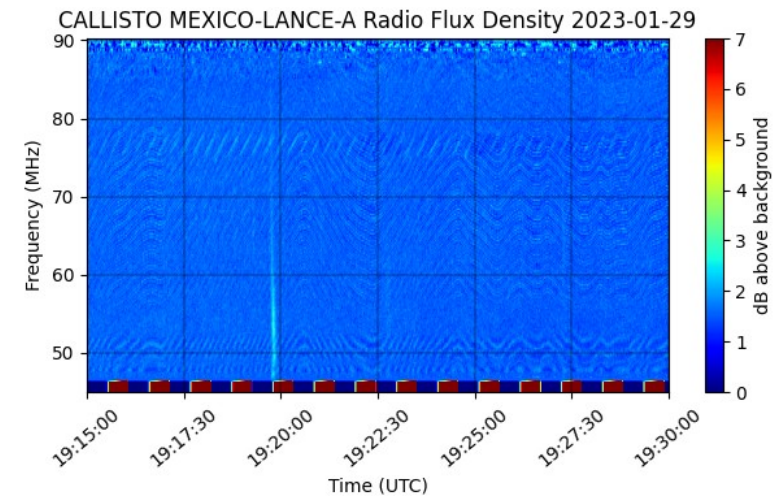
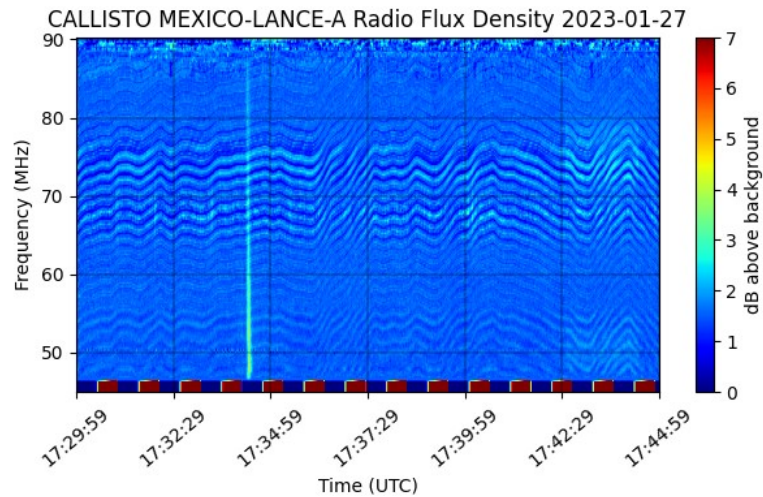


- Eyecciones observadas por SOHO/LASCO con cálculos
del sitio CACTUS.

Credito imágenes y valores estimados:
SOHO, the SOLAR & Heliospheric Observatory
<https://wwwbis.sidc.be/cactus/>

Estallidos de radio solares: Observaciones de la REC-Mx

En esta semana la Red de Espectrómetros Callisto de México (REC-Mx) detectó 6 estallidos de radio Tipo III.



Medio interplanetario: El viento solar cercano a la Tierra

Modelo numérico WSA-ENLIL.

Al día de hoy 02 de febrero de 2023, el modelo pronostica el arribo de corrientes de viento solar lento con que velocidades que varían entre los 400 km/s y los 600 km/s, aproximadamente. No pronostica el arribo de ninguna EMC para los próximos 4 días.

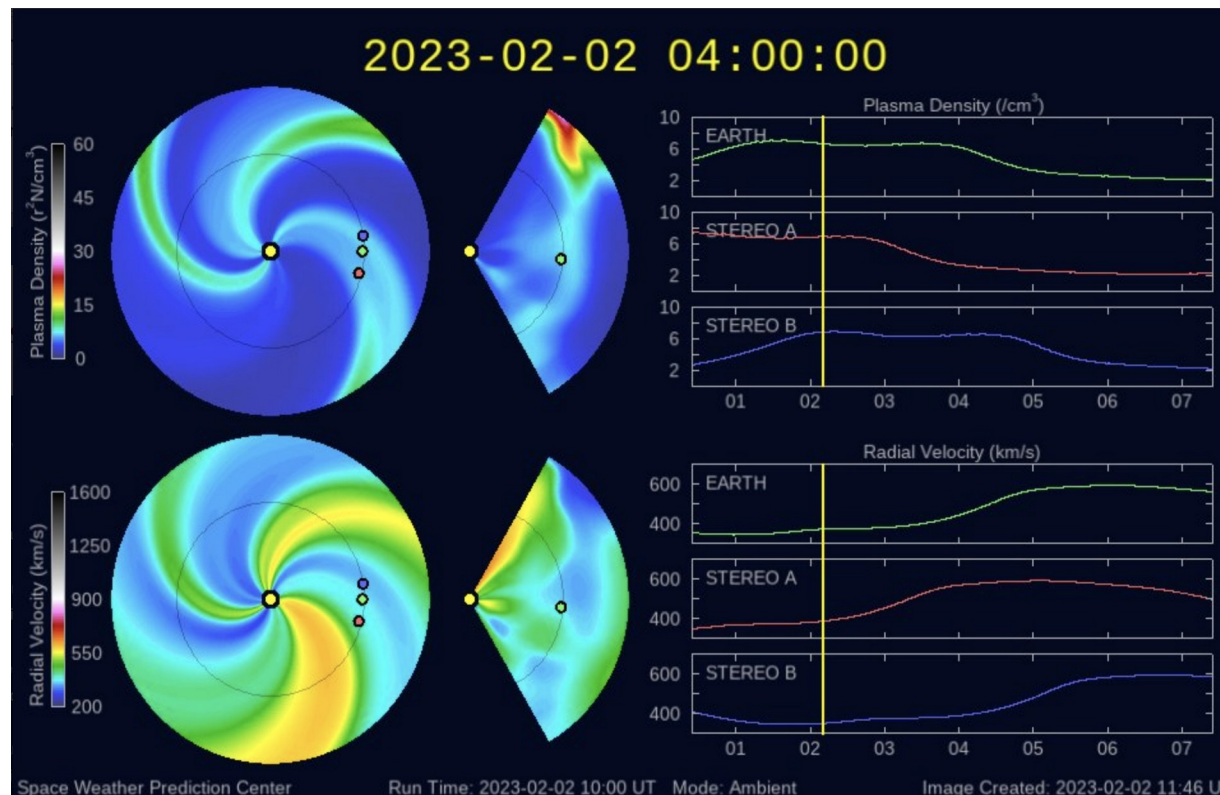


Imagen: <http://www.swpc.noaa.gov/products/wsa-enlil-solar-wind-prediction>

Medio interplanetario: Región de interacción de viento solar

Esta semana se registró una región de interacción y el flanco de una eyección de masa coronal (ver área sombreada en gris y amarillo, respectivamente en imagen 2). El origen del viento solar rápido que generó a la región de interacción es un hoyo coronal localizado en latitudes bajas (ver región oscura sobre el ecuador en imagen 1). Dichas estructuras no generaron actividad geomagnética.

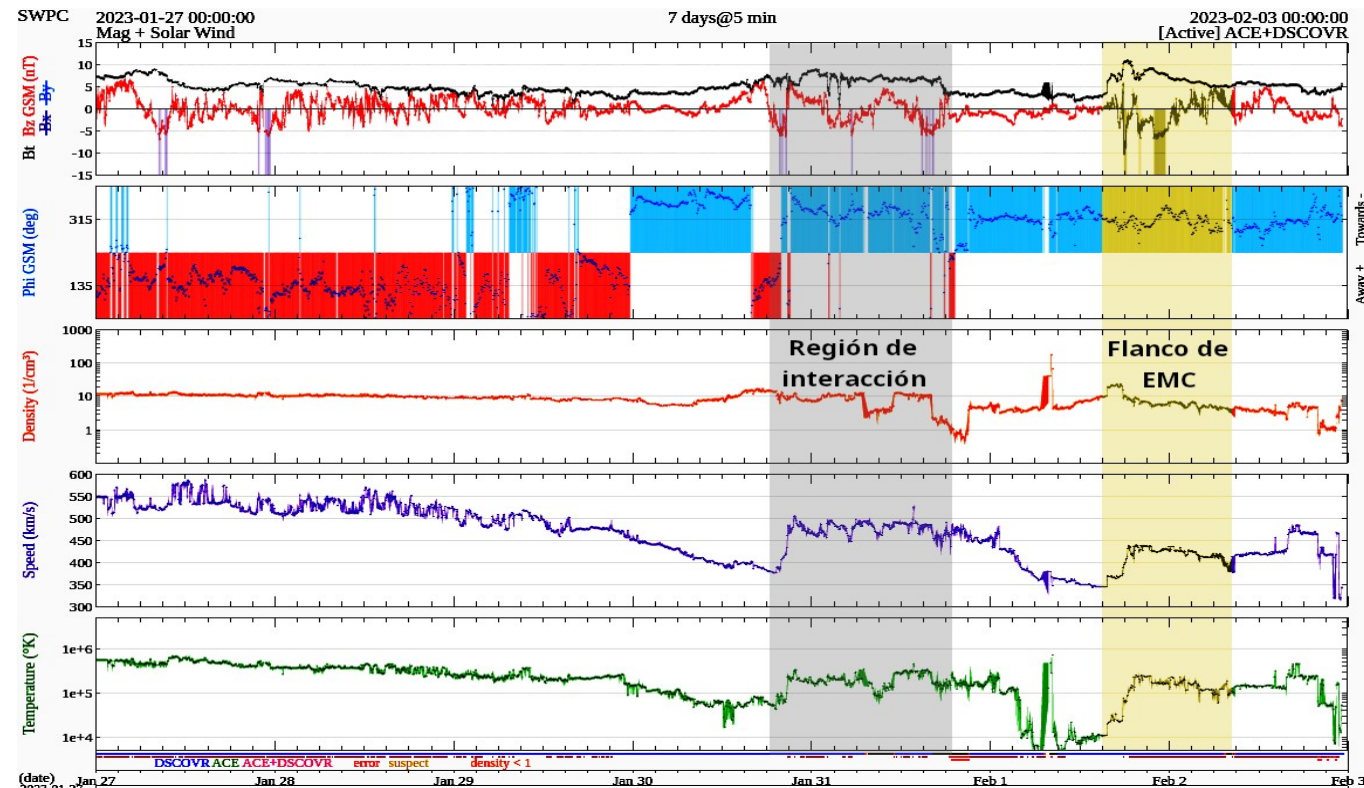
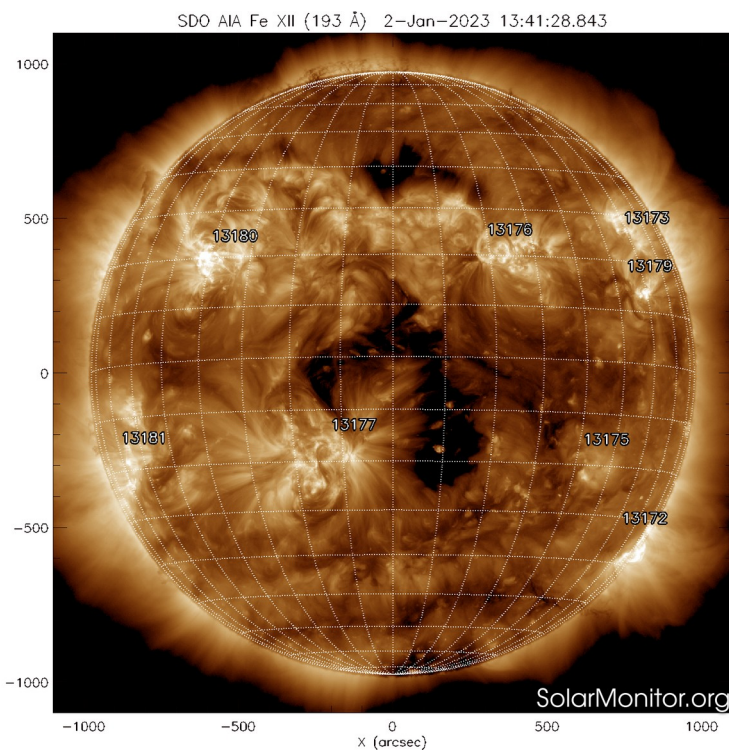


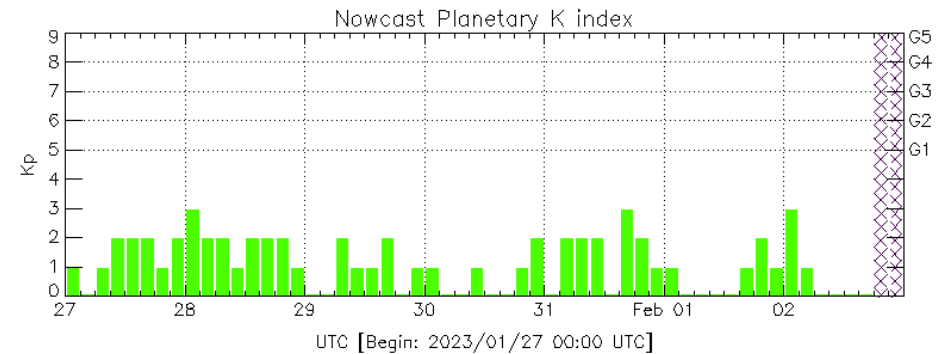
Imagen 1: <https://sdo.gsfc.nasa.gov/>

Imagen 2: <http://www.swpc.noaa.gov/products/real-time-solar-wind>

Perturbaciones geomagnéticas: Índices geomagnéticos Kp y Kmex

Se registró una tormenta geomagnética clase G1 (K=5) el día 1 de febrero. La tormenta geomagnética fue provocada por una región en el viento solar con componente Bz sur intermitente que impactó el ambiente terrestre el día 2 de febrero.

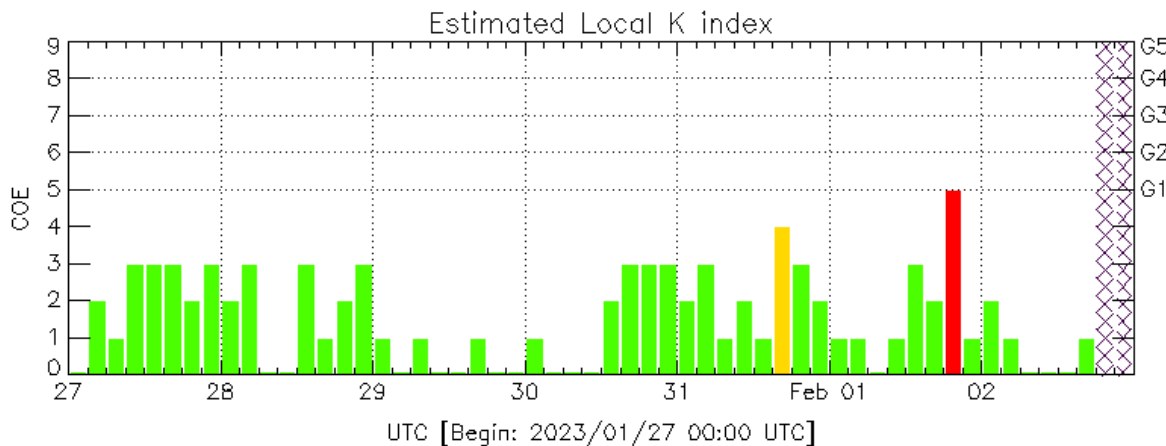
Datps: www.gfz-potsdam.de/en/kp-index/



Color Code: ■ quiet, ■ disturbed, ■ storm, XXXX data not available.

Kp: by GFZ German Research Center for Geosciences
<https://www.gfz-potsdam.de/en/kp-index/>

Updated: 2023/02/02-17:59 UTC



Color Code: ■ quiet, ■ disturbed, ■ storm, XXXX data not available.

COE: Coeneo Geomagnetic Station (LAT 19.81, LON -101.69)

LANC/SCIESMEX - Morelia, Mich., MX

Updated: 2023/02/02-17:59 UTC

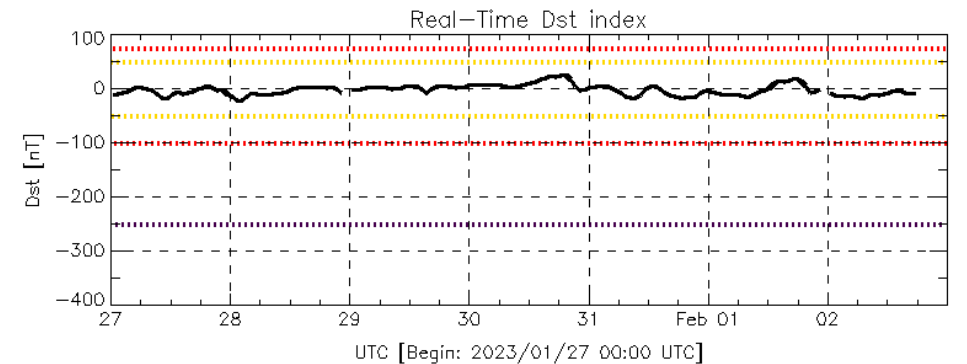
El índice K indica la intensidad de las variaciones del campo magnético terrestre en intervalos de 3 horas.

El índice Kp lo expresa a escala planetaria, mientras que el Kmex lo hace para el territorio mexicano.

Perturbaciones geomagnéticas: Índice Dst y ΔH

Se registró actividad geomagnética débil en los índices Dst y DH el 2 de febrero. La actividad geomagnética fue provocada por regiones de interacción en el viento solar de característica compresiva e intermitente que impactó el ambiente terrestre el día 2 de febrero.

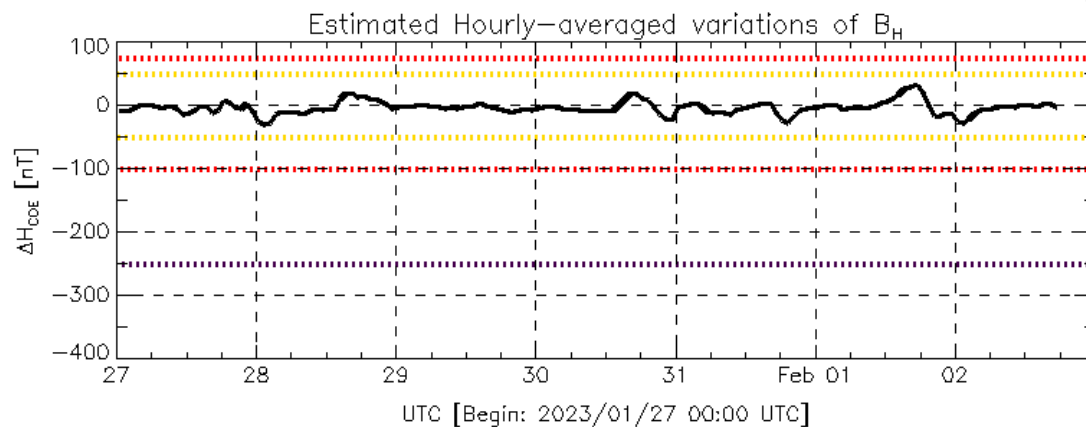
Datos: wdc.kugi.kyoto-u.ac.jp/dst_realtime/



Color Code: weak, moderate, intense, extreme, data not available.

Dst: by World Data Center for Geomagnetism, Kyoto
http://wdc.kugi.kyoto-u.ac.jp/dst_realtime/

Updated: 2023/02/02-17:59 UTC



Color Code: weak, moderate, intense, extreme, data not available.

COE: Coeneo Geomagnetic Station (LAT 19.81, LON -101.69)
LANCE/SCIESMEX - Morelia, Mich., MX

Updated: 2023/02/02-17:59 UTC

Los índices Dst y ΔH miden las variaciones temporales de la componente horizontal del campo geomagnético, el primero a escala planetaria y el segundo para México.

Estas variaciones, en general, se deben al ingreso de partículas cargadas, provenientes del espacio exterior, al ambiente espacial terrestre.

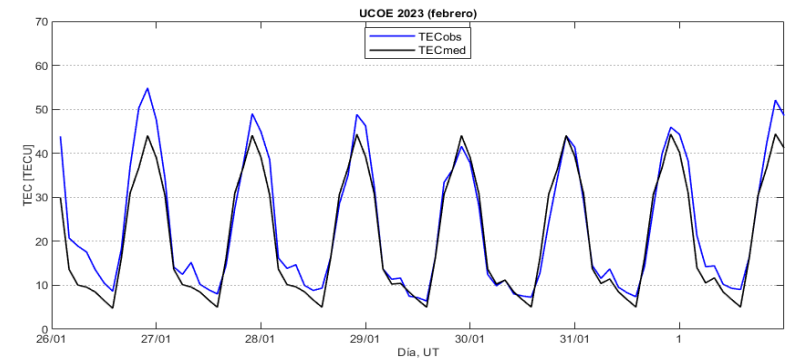
Ionósfera sobre México: TEC en el centro del país

El contenido total de electrones (TEC) es un parámetro que sirve para caracterizar el estado de la ionosfera de la Tierra.

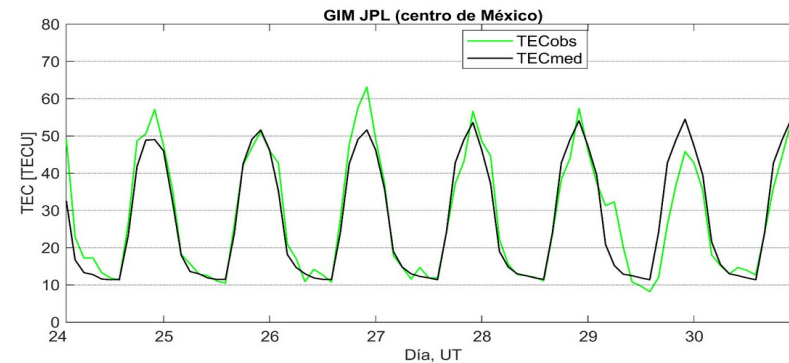
Series temporales de los valores de TEC (TECobs) con referencia a su valor mediano (TECmed) obtenidas de:

(1) Estación local UCOE, receptor ubicado en las instalaciones del MEXART

El cálculo se realiza en base del software "TayAbsTEC" del Instituto de Física Solar-Terrestre, SB RAS. Referencia: Yasyukevich et al., 2015, doi: 10.1134/S001679321506016X.



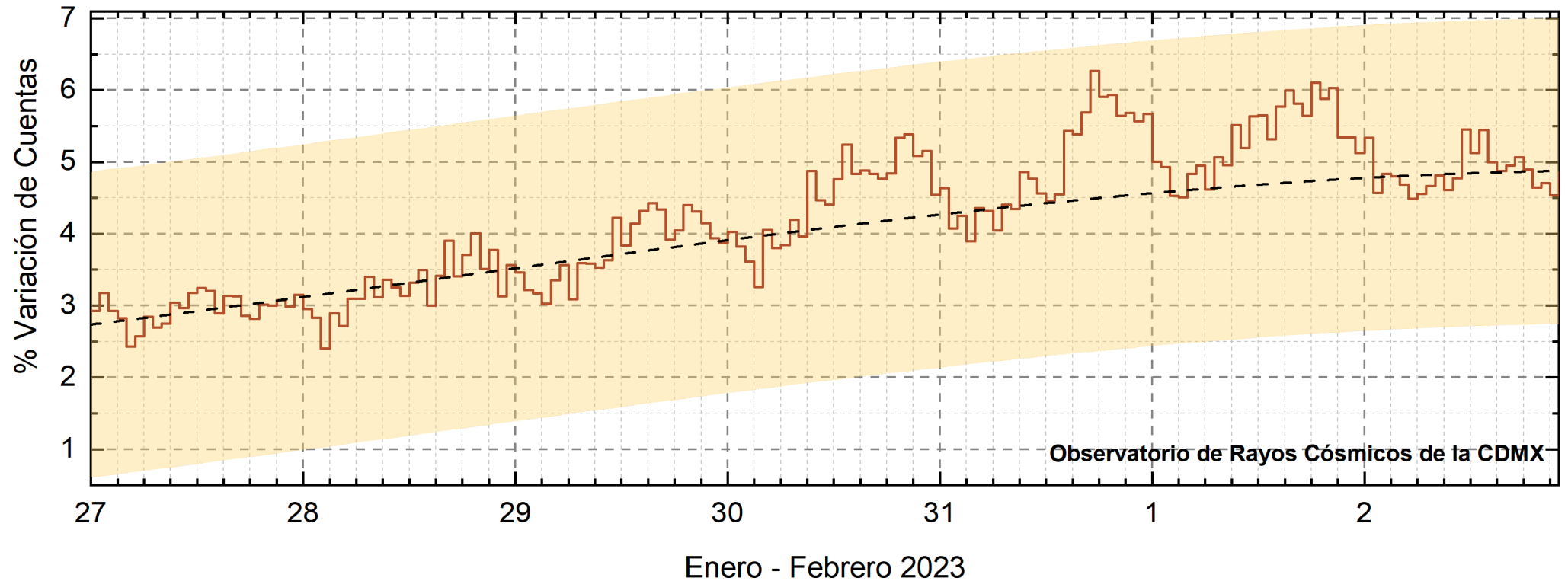
(2) Mapas ionosféricos globales (GIM JPL)



Según los datos locales, no se observaron variaciones significativas del TEC durante la semana.



Rayos Cósmicos:



<http://www.cosmicrays.unam.mx/>

Datos registrados por el Observatorio de Rayos Cósmicos de la Ciudad de México. La curva discontinua negra representa el promedio de los datos registrados, el área coloreada en amarillo representa la significancia de los datos ($\pm 3\sigma$). Cuando se registran variaciones que salen del área, es probable que éstas sean atribuidas a efectos de emisiones solares en el flujo de rayos cósmicos. Del 27 de enero al 2 de febrero de 2023, no se detectaron variaciones significativas ($\pm 3\sigma$) en las cuentas de rayos cósmicos.

UNAM/LANCE/SCIESMEX

Dr. J. Américo González Esparza

Dr. Pedro Corona Romero

Dra. Maria Sergeeva

Dr. Julio C. Mejía Ambriz

Dr. Luis Xavier González Méndez

Dr. José Juan González Avilés

Ing. Ernesto Andrade Mascote

M.C. Pablo Villanueva Hernández

Dr. Ernesto Aguilar-Rodríguez

Dra. Verónica Ontiveros

Dra. Tania Oyuki Chang Martínez

Dr. Víctor José Gatica Acevedo

Dra. Angela Melgarejo Morales

Isaac David Orrala Legorreta

UNAM ENES-Morelia

Dr. Mario Rodríguez Martínez

M.C. Raúl Gutiérrez Zalapa

Rafael Zavala Molina

UNAM/PCT

Dra. Elsa Sánchez García

M.C. Carlos Arturo Pérez Alanís

M.C. Isaac Castellanos Velasco

UANL/LANCE

Dr. Eduardo Pérez Tijerina

Dra. Esmeralda Romero
Hernández

Elaboración: Elsa Sánchez García

Revisión: Ernesto Aguilar Rodríguez

UNAM/IGF/RAYOS CÓSMICOS

Dr. José Francisco Valdés Galicia

Fis. Alejandro Hurtado Pizano

Ing. Octavio Musalem Clemente

SERVICIO MAGNÉTICO

M.C. Esteban Hernández Quintero

M.C. Gerardo Cifuentes Nava

Dra. Ana Caccavari Garza

CPCET/SAET-IPN

Ing. Julio César Villagrán Orihuela

Miguel Daniel González Arias

Carlos Escamilla León

Jessica Juárez Velarde

Pablo Romero Minchaca

Eric Bañuelos Gordillo

Alfonso Iván Verduzco Torres

Alain Mirón Velázquez

Agradecimientos

El Laboratorio Nacional de Clima Espacial (LANCE) es parcialmente financiado por: el programa Cátedras CONACYT Proyecto 1045 y el Fondo Sectorial AEM-CONACYT proyecto 2014-01-247722. Agradecemos al proyecto Conacyt – Repositorio Institucional de Clima Espacial 268273. Agradecemos al proyecto AEM-2018-01-A3-S-63804 del Fondo Sectorial CONACYT-AEM. Agradecemos a todos los responsables y colaboradores de instrumentos del LANCE y a las redes de estaciones GPS del Servicio Sismológico Nacional y TlalocNET por facilitar sus datos. Agradecemos a Gerardo Cifuentes, Esteban Hernández y Ana Caccavari por los datos del Observatorio Magnético de Teoloyucan. De igual forma, agradecemos los servicios de IGS (International GNSS Service) por permitirnos usar los datos IONEX disponibles en: <https://cddis.nasa.gov/archive/gnss/products/ionex>. Los valores de TEC fueron obtenidos a partir de observaciones de las redes GPS del Servicio Sismológico Nacional (SSN), SSN-TLALOCNet y TLALOCNet del Servicio de Geodesia Satelital (SGS). Agradecemos al personal del SSN y del SGS por el mantenimiento de estaciones, la adquisición de datos y el soporte de IT de estas redes. Las operaciones de la red TLALOCNet y SSN-TLALOCNet GPS han sido apoyadas por The National Science Foundation bajo el proyecto EAR-1338091 a UNAVCO Inc., los proyectos CONACyT 253760 y 256012 y los proyectos UNAM-PAPIIT IN109315-3 y IN104818-3 de E. Cabral-Cano y el proyecto UNAM-PAPIIT IN111509 de R. Pérez. De igual forma, agradecemos a los proyectos de infraestructura del CONACyT: 253691 y del PAPIIT-DGAPA: IA107116 para el fortalecimiento de equipos como la estación fija de GPS, que forman parte del LACIGE-UNAM, de la ENES unidad Morelia a cargo de M. Rodríguez-Martínez, El cálculo de TEC se realiza: 1) utilizando el software US-TEC que es un producto de operación del Space Weather Prediction Center (SWPC), desarrollado a través de una colaboración entre National Geodetic Survey, National Oceanic and Atmospheric Administration (NOAA) y el Cooperative Institute for Research in Environmental Sciences of the University of Boulder, Colorado, 2) con base en el software TayAbsTEC del Instituto de Física Solar-Terrestre, sección Siberiana de la Academia de Ciencias Rusa. Parte del procesamiento de datos se lleva a cabo dentro del centro de Supercómputo de Clima Espacial (CESCOM) del LANCE. Así mismo agradecemos al Space Weather Forecasting Center for Astrophysics & Space Research de la University of California in San Diego y al Korean Space Weather Center por los datos de pronóstico para los modelos WSA-ENLIL y los mapas tomográficos por IPS. Agradecemos a la red e-callisto por los datos proporcionados de espectros electromagnéticos dinámicos de la red internacional de registro de eventos de radio solares.

Datos

Imágenes de coronógrafo, flujo de rayos X y modelo WSA-ENLIL:

<http://www.swpc.noaa.gov/products>

<http://iswa.ccmc.gsfc.nasa.gov/IswaSystemWebApp/>

Imágenes de coronógrafo:

<http://sohowww.nascom.nasa.gov/data/>

Imágenes del disco solar y de la fulguración:

<http://www.solarmonitor.org/>

Detección y caracterización de EMCs:

<http://www.sidc.oma.be/cactus/out/latestCMEs.html>

<http://spaceweather.gmu.edu/seeds/>

ISES:

<http://www.spaceweather.org/>

International Network of Solar Radio Spectrometers (e-callisto):

<http://www.e-callisto.org/>

German Research Center For Geosciences Potsdam:

<http://www.gfz-potsdam.de/en/sektion/erdmagnetfeld/daten-dienst/e/kp-index/>

Data Analysis Center for Geomagnetism and Space Magnetism, Kyoto University:

<http://wdc.kugi.kyoto-u.ac.jp/index.html>

UNAVCO:

<http://www.unavco.org>

SSN:

<http://www.sismologico.unam.mx/>

SOHO Spacecraft NASA:

<http://sohowww.nascom.nasa.gov/>

SDO Spacecraft NASA:

<http://sdo.gsfc.nasa.gov/>

Space Weather Prediction Center NOAA:

<http://www.swpc.noaa.gov>

GOES Spacecraft NOAA:

<http://www.ngdc.noaa.gov/stp/satellite/goes/index.html>

ACE Spacecraft NOAA

<http://www.srl.caltech.edu/ACE/ASC/index.html>